

УДК 539.194

ИЗМЕРЕНИЕ ВРЕМЕНИ  
КОЛЕБАТЕЛЬНО-ПОСТУПАТЕЛЬНОЙ РЕЛАКСАЦИИ В ГАЗАХ  
С ПОМОЩЬЮ РЕЗОНАНСНЫХ ЛАЗЕРНЫХ СПЕКТРОФОНОВ

*В. П. Жаров и С. Г. Монтанари*

Предложен и описан ряд методов определения времени колебательно-поступательной релаксации в газах с использованием резонансных лазерных спектрофонов. Методы основаны на измерении оптико-акустических сигналов на одной или нескольких резонансных акустических модах при различных давлениях газа. Приведены результаты практической демонстрации этих методов с использованием непрерывного CO<sub>2</sub>-лазера, молекул CO<sub>2</sub> и резонансного спектрофона цилиндрической формы. Предложено использовать рассмотренные методы измерения для повышения селективности оптико-акустического детектирования микропримесей в газах.

Одной из важных спектроскопических задач является определение времени колебательно-поступательной релаксации в газах  $\tau_{v-t}$ , что необходимо, например, для более глубокого понимания механизмов кинетики химических реакций, для выбора наиболее оптимальных активных сред и переходов в молекулярных лазерах, при изучении процессов взаимодействия мощного лазерного излучения с веществом и т. п.

Существует достаточно большое количество методов определения  $\tau_{v-t}$  [1], среди которых преимуществом при определенных условиях обладает оптико-акустический (ОА) метод. Этот метод основан на определении поглощенной энергии в газе по изменению давления газа в замкнутом объеме камеры спектрофона [2]. Физической основой этого метода является преобразование части энергии возбужденных резонансным излучением молекул в тепловую энергию среды за счет безызлучательных переходов, т. е. формирование ОА сигнала, и его временные параметры непосредственно связаны с процессами колебательно-поступательной релаксации в газах, что и обусловило широкое применение этого метода для измерения  $\tau_{v-t}$ .

При использовании некогерентных источников излучения наибольшее распространение получил фазовый метод определения  $\tau_{v-t}$  [3]. Однако практическая реализация всех потенциальных возможностей ОА метода в этом плане стала доступной лишь с использованием лазерных источников излучения. Лазеры позволяют селективно возбуждать определенные квантовые состояния в молекулах, за счет повышения чувствительности исследовать слабопоглощающие среды и расширить аналитические возможности метода при малых давлениях газа и высоких частотах модуляции, изучать кинетику образования ОА сигналов в режиме коротких лазерных импульсов и т. п.

В настоящей работе проведен краткий анализ возможностей ОА метода для определения  $\tau_{v-t}$  с лазерными источниками излучения и описан метод определения  $\tau_{v-t}$  с использованием резонансных лазерных спектрофонов.

В непрерывном режиме работы лазера определение  $\tau_{V-T}$  с помощью ОА метода возможно на основе измерения фазы ОА сигнала [3, 4], амплитудно-частотной характеристики спектрофона [5] и зависимости ОА сигнала от давления газа [6, 7].

Характерной особенностью фазового метода определения  $\tau_{V-T}$  является необходимость исключения аппаратурного сдвига фазы из-за влияния тепловой постоянной спектрофона  $\tau_T$ . Это требует специальных методик измерения и довольно трудоемких расчетов. Трудность измерения  $\tau_{V-T}$  по соответствующему наклону частотной характеристики обусловлена существенным падением чувствительности спектрофона при высоких частотах модуляции  $\omega$ . Определение  $\tau_{V-T}$  по зависимости ОА сигнала ( $P$ ) от давления ( $P_0$ ) связано с трудностью интерпретации результатов измерения из-за сложного вида этой зависимости  $P \sim \tau_{\text{рад.}} \tau_T / \tau_{V-T} [(1 + \omega^2 \tau_T^2) \times (1 + \omega^2 \tau_{V-T}^2)]^{1/2}$ , причем  $\tau_T \sim P_0^{-1}$ ,  $\tau_{V-T} \sim P_0^{-1}$ , где  $\tau_{\text{рад.}} = (\tau_{\text{рад.}}^{-1} + \tau_{V-T}^{-1} + \tau^{-1}/\varepsilon)^{-1}$ ,  $\tau_{\text{рад.}}$  — радиационное время жизни,  $\varepsilon$  — коэффициент аккомодации, причем для точных количественных расчетов необходимо иметь информацию о многих параметрах, включая  $\tau_T$ ,  $\varepsilon$ , и характере зависимости чувствительности микрофона и коэффициента поглощения  $\chi$  от давления газа.

В импульсном режиме работы лазера определение  $\tau_{V-T}$  основано на измерении длительности переднего фронта импульсного ОА сигнала. Этот метод успешно опробован в работе [8], а позднее в [9].

Характерной особенностью последнего метода по сравнению с предыдущими является прямое определение  $\tau_{V-T}$  при отсутствующем влиянии параметра  $\tau_T$  (при  $\tau_T \gg \tau_{V-T}$ ).

В непрерывном режиме работы лазера возможным способом исключения влияния  $\tau_T$  является переход к сравнительно высоким частотам модуляции. Например, в методе определения  $\tau_{V-T}$  по зависимости ОА сигнала от давления достаточно выполнить условие  $\omega \tau_T \gg 1$ . Однако, как уже указывалось, с увеличением частоты модуляции существенно падает чувствительность спектрофона. Наиболее перспективным путем исключения этого недостатка является использование резонансных спектрофонов, в которых при формировании ОА сигналов используются резонансные акустические свойства рабочей камеры [10, 11]. Благодаря высокой добротности ( $Q \sim 800$ ) достигается существенное возрастание амплитуды ОА сигналов при совпадении частоты модуляции с одной из резонансных частот объема, а из-за преимущественно объемного резонансного механизма формирования ОА сигналов практически исключается влияние термодинамического механизма, при котором газ должен прогреваться во всем объеме камеры (а не только в окрестности луча, как в первом случае).

Одной из простейших конструкций резонансного спектрофона, хотя и не самой оптимальной, является спектрофон с камерой цилиндрической формы, в которой возможно возбуждение ряда резонансных колебаний, с частотами, определяемыми из соотношения [10, 11]

$$f_{k, m, n} = V_{\text{зв.}} [(k/2L)^2 + (\alpha_{m, n}/2R)^2]^{1/2}, \quad (1)$$

где  $V_{\text{зв.}}$  — скорость звука в газе;  $L, R$  — длина и радиус камеры;  $k, m, n$  — номера соответственно продольных азимутальных и радиальных типов колебаний; коэффициент  $\alpha_{m, n}$  определяется из решения уравнения  $dJ_m(\alpha_{m, n}\rho/R)/d\rho = 0$  при  $\rho = R$ , где  $\rho$  — текущий радиус камеры,  $J_m$  — функция Бесселя  $m$ -го порядка. Как показали результаты предварительных испытаний, наибольшей чувствительностью обладает цилиндрический резонансный спектрофон при работе на радиальных модах. Выражение

для ОА сигнала на этих модах можно получить на основе обобщения результатов работ [9, 11]

$$P = \frac{(\gamma - 1) \pi I e^{-\mu n} J_0(\pi \alpha_{0,n} / R) Q \delta}{J_0^2(\pi \alpha_{0,n}) \pi R^2 \omega_{m,n} \sqrt{1 + (\omega_{m,n} \tau_{рел.})^2}}, \quad \pi L \ll 1, \quad (2)$$

где  $Q$  — фактор добротности;  $\gamma$  — отношение теплоемкостей газа при постоянном объеме и давлении; для лазерного пучка с гауссовым распределением интенсивности в поперечном сечении  $\mu_n = (w/R)^2 (2\pi \alpha_{0,n})^{-2}$ ,  $w$  — характеристический радиус лазерного пучка (на уровне  $1/e^2$ );  $I$  — средняя мощность излучения в камере спектрофона,  $\delta$  — глубина модуляции. Согласно виду выражений (1) и (2), частотная характеристика рассматриваемого спектрофона в области высоких частот имеет линейчатый характер. При этом возможны следующие три методики определения  $\tau_{V-T}$ .

1. Определение  $\tau_{V-T}$  на основе сравнения двух ОА сигналов  $P_1$  и  $P_2$  на одной из резонансных частот  $\omega_i$  соответственно в условиях влияния ( $\omega_i \tau_{V-T} \geq 1$ ) и при отсутствии влияния ( $\omega_i \tau_{V-T} \ll 1$ ) релаксационных процессов в газе. Выражение для определения  $\tau_{V-T}$  при этом имеет следующий вид:

$$\tau_{V-T}^0 = \frac{P_0}{\omega} \sqrt{\left(\frac{P_2}{P_1}\right)^2 - 1}, \quad (3)$$

где  $\tau_{V-T}^0$  — время релаксации при определенном фиксированном давлении (обычно при 1 атм),  $P_0$  — давление газа при измерении.

В общем случае для определения  $P_2$  необходимо осуществить калибровку спектрофона с быстрорелаксирующими газами. Для ряда молекул это можно сделать более просто путем добавки в небольших количествах к исследуемым молекулам паров воды, ускоряющих колебательно-поступательную релаксацию большинства многоатомных молекул до двух-трех порядков [8].

2. Определение  $\tau_{V-T}$  на основе измерения отношения ОА сигналов на нескольких резонансных частотах. Например, при измерении на двух частотах  $\omega_1$  и  $\omega_2$  ( $\omega_2 > \omega_1$ ) из (2) легко получить

$$\tau_{V-T}^0 = P_0 \sqrt{\frac{A^2 - 1}{\omega_2^2 - A^2 \omega_1^2}}, \quad (4)$$

где  $A = P_1 \omega_1 Q_2 / P_2 \omega_2 Q_1$ ;  $P_1$ ,  $P_2$ ,  $Q_1$ ,  $Q_2$  — соответственно амплитуды ОА сигналов и добротности спектрофона на частотах  $\omega_1$  и  $\omega_2$ .

3. Определение  $\tau_{V-T}$  на основе анализа формы (характерных точек перегиба) амплитудно-частотной характеристики спектрофона (2). Если результаты измерений построить в логарифмическом масштабе, то по точке перегиба на графике (т. е. когда зависимость  $1/\omega$  меняется на  $1/\omega^2$ ) можно определить  $\tau_{V-T}$ . Для реализации этого способа желательно иметь спектрофон с перестраиваемой резонансной частотой, например, на основе изменения геометрии рабочей камеры. Некоторой модификацией этого способа является изменение произведения  $\omega \tau_{V-T}$  не вариацией  $\omega$ , а изменением  $\tau_{V-T}$  путем вариации давления газа, так как  $\tau_{V-T} \sim P_0^{-1}$ . Для удобства обработки результатов измерений целесообразно выражение (2) представить в следующем виде:

$$\frac{1}{PC} = (\omega \tau_{V-E}^0) \frac{1}{P_0^2} + 1, \quad (5)$$

где в постоянный множитель  $C$  сведены все члены, не зависящие от  $\tau_{V-T}$ . Таким образом, если результаты измерений представить в графической форме в координатах  $1/P$  от  $1/P_0^2$ , то получается прямая, точка пересечения которой с осью абсцисс определяет величину давления  $|P^*|$ , однозначно связанную с  $\tau_{V-T}^0$  соотношением

$$\tau_{V-T} = |P^*| / \omega. \quad (6)$$

На основе анализа приведенных выше выражений легко определить оптимальные условия измерения, при которых ошибка в определении  $\tau_{V-T}$  минимальна. Например, в первом способе выбором частоты модуляции и давлением газа необходимо обеспечить условие  $\omega \tau_{V-T} \geq 1$  (при измерении сигнала  $P_1$ ), во втором способе целесообразно частоты  $\omega_1$  и  $\omega_2$  выбирать из условия  $\omega_1 \tau_{V-T} \ll 1$  и  $\omega_2 \tau_{V-T} \geq 1$ , а в третьем способе — желательно обеспечить  $\omega \tau_{V-T}^2 / P_0 \sim 1$ .

### Экспериментальные результаты

Экспериментальная проверка описанных методов определения осуществлялась с использованием цилиндрического резонансного спектрофона. Размеры камеры спектрофона: длина  $L=200$  мм, радиус  $R=30$  мм. Торцевые окна выполнены из КРС-5. В центре камеры в боковой стенке размещался промышленный конденсаторный микрофон диаметром 13 мм и чувствительностью 10 мВ/Па, причем имелась возможность перемещать его по вертикали. Герметичность подвижного соединения обеспечивалась применением сильфона. В качестве источника излучения использовался

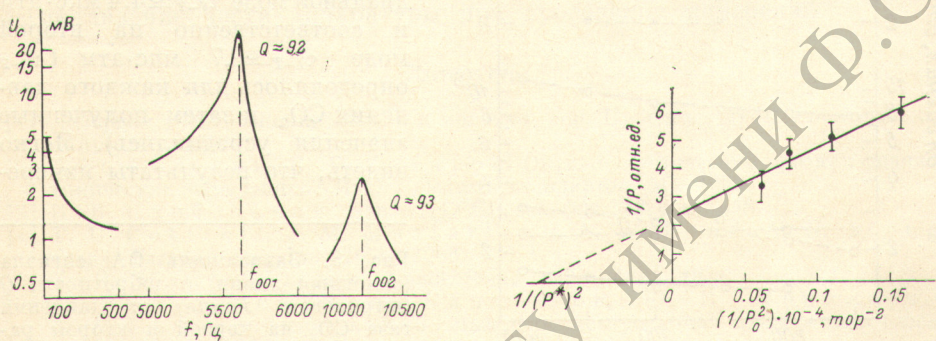


Рис. 1. Частотная характеристика резонансного спектрофона на низких частотах модуляции и контуры первой и второй радиальных мод.

Давление  $\text{CO}_2 = 760$  тор; линия излучения  $\text{CO}_2$ -лазера —  $R$  (16) полосы 9.6 мкм.

Рис. 2. Результаты измерений оптико-акустического сигнала как функции давления  $\text{CO}_2$  на первой радиальной акустической моде.

непрерывный  $\text{CO}_2$ -лазер с мощностью около 1 Вт, перестраиваемый по частоте путем разворота внутриструйной дифракционной решетки. Модуляция излучения осуществлялась электрооптическим модулятором типа МЛ-8. После микрофона сигнал поступал на высокоомный малошумящий предусилитель на полевых транзисторах, усиливался в избирательном усилителе и регистрировался с помощью синхронного детектора.

Лазерный луч пропускался коаксиально через камеру спектрофона. При этом наиболее эффективно возбуждались радиальные акустические колебания [2]. Регулировка положения микрофона осуществлялась по максимуму выходного сигнала, который достигался приблизительно при совпадении поверхности чувствительной мембранны с поверхностью боковой стенки (при этом член  $J_0(\pi \alpha_{0,n} \rho |R|)$  в числителе (2), который в функции радиуса  $\rho$  носит осциллирующее затухающее характер, имеет максимум).

В качестве исследуемого газа был взят  $\text{CO}_2$ , для которого большинство спектроскопических параметров в диапазоне генерации  $\text{CO}_2$ -лазера, включая и время  $\tau_{V-T}$ , хорошо известны. Для примера на рис. 1 приведены полученные с использованием газа  $\text{CO}_2$  при давлении 760 тор частотная характеристика спектрофона в области низких частот и контуры первой и второй радиальных мод с частотами  $f_{001} \approx 5520$  Гц и  $f_{002} \approx 10250$  Гц. Пороговая чувствительность спектрофона на первой радиальной моде составляла порядка  $(I_x)_{\text{пор.}} = 10^{-7}$  Вт·см<sup>-1</sup>.

Оценка  $\tau_{V-T}$  по третьему способу проводилась в области давлений  $\text{CO}_2$  от 200 до 400 тор, выбранной с учетом минимизации ошибки при измерении на первой радиальной моде. После обработки результатов измерений по описанной выше методике (рис. 2) было получено значение  $\tau_{V-T}^0 = 12.4 \text{ мкс}\cdot\text{атм}$ , что в пределах точности 15–20% удовлетворительно согласуется с результатами измерений по другим методикам (например, в [8]  $\tau_{V-T}^0 = 10.8 \text{ мкс}\cdot\text{атм}$ ). Следует отметить, что при измерении на второй радиальной моде получена большая погрешность определения  $\tau_{V-T}$  (около 40%), что объясняется нарушением условия минимизации ошибки.

Оценка величины  $\tau_{V-T}$  по первому способу проводилась при давлениях  $\text{CO}_2$  250, 300 и 350 тор (рис. 3). Вначале определялась величина ОА сигнала и  $Q$  для чистого  $\text{CO}_2$ , затем для смеси  $\text{CO}_2 + \text{H}_2\text{O}$  в отношении 40 : 1 при том же давлении  $\text{CO}_2$  и далее по формуле (3) рассчитывалось  $\tau_{V-T}$ . Были получены следующие результаты: при измерении на первой радиальной моде  $\tau_{V-T}^0 \approx 4.4 \text{ мкс}\cdot\text{атм}$  и соответственно на второй моде  $\tau_{V-T}^0 \approx 9.7 \text{ мкс}\cdot\text{атм}$  ( $\tau_{V-T}^0$  определялось для каждого давления  $\text{CO}_2$  и затем полученные значения усреднялись). Легко видеть, что результаты измере-

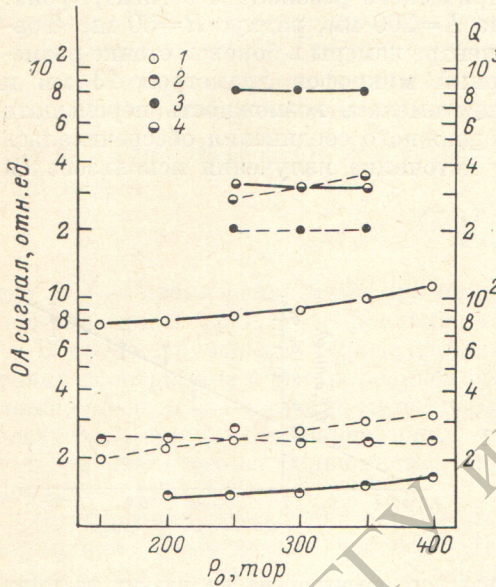


Рис. 3. Зависимость ОА сигнала (сплошная линия) и добротности  $Q$  (штриховая линия) от давления газа  $\text{CO}_2$  на первой и второй радиальных модах соответственно без  $\text{H}_2\text{O}$  (1, 2) и с  $\text{H}_2\text{O}$  (3, 4).

ния на второй моде хорошо согласуются с литературными, что объясняется лучшим выполнением условия минимизации погрешности.

Анализ представленных результатов позволяет сделать следующие выводы. Наиболее универсальным является третий способ измерения  $\tau_{V-T}$ , в котором довольно просто минимизировать ошибку в определении  $\tau_{V-T}$  выбором условий эксперимента. Более простым является первый способ, однако он требует быстрорелаксирующей добавки к исследуемому газу, что не всегда приемлемо. Второй способ при видимой простоте требует предварительной корректной калибровки и большого различия в резонансных частотах. Для этого требуется дополнительная оптимизация параметров резонансного спектрофона.

Полученные выше экспериментальные результаты не претендуют на точное измерение  $\tau_{V-T}$  для  $\text{CO}_2$ , а являются лишь доказательством правомерности описанных методик определения параметра с помощью резонансных лазерных спектрофонов. Следует отметить, что для более детального описания кинетики релаксационных процессов в  $\text{CO}_2$  при возбуждении  $\text{CO}_2$ -лазером необходимо воспользоваться более сложными аналитическими зависимостями, учитывающими  $v-v$  и каскадные процессы. К числу достоинств описанных методик измерения  $\tau_{V-T}$  следует отнести сравнительную простоту (необходимо лишь заранее пронормировать характеристики спектрофона путем соответствующей калибровки), возможность работы при сравнительно высоких давлениях газа и отсутствие необходимости исключать влияние аппаратурной погрешности из-за  $\tau_T$ . По существу, в описанных методах определение  $\tau_{V-T}$  основано на измерении амплитуды ОА сигнала всего на двух резонансных частотах, или на одной при нескольких

значений давления, что значительно упрощает расчет  $\tau_{v-T}$  в сравнении с другими известными методиками.

Наряду с определением  $\tau_{v-T}$  представляет интерес применение описанных методик измерения и для решения других важных задач, например, для повышения селективности оптико-акустического метода детектирования микропримесей в газах, во-первых, на основе идентификации отдельных типов молекул по параметру  $\tau_{v-T}$ , а во-вторых, на основе подавления ОА сигнала от молекул с большим значением  $\tau_{v-T}$  выбором частоты модуляции  $\omega$  из условия  $\omega\tau_{v-T} \gg 1$ , при котором, однако, еще не пропадает сигнал от сравнительно быстрорелаксирующих молекул, подлежащих детектированию. Для повышения чувствительности при этом целесообразно воспользоваться резонансным спектрофоном с более оптимальной формой так называемой  $H$ -геометрии, в которой возбуждаются радиальные и продольные моды в боковых камерах [12]. Например, таким образом можно повысить на несколько порядков чувствительность обнаружения ряда органических продуктов, в том числе и  $\text{NH}_3$  с помощью  $\text{CO}_2$ -лазера в условиях, когда предельную чувствительность ОА метода ограничивает фоновое поглощение от молекул  $\text{CO}_2$  в смеси (так как  $\tau_{v-T}^{\text{CO}_2}/\tau_{v-T}^{\text{NH}_3} \sim 10^8$  [8]).

В заключение авторы выражают благодарность О. Н. Компанцу за предоставление части аппаратуры при проведении измерений.

#### Литература

- [1] Лазерная спектроскопия атомов и молекул, сер. Проблемы прикладной физики. «Мир», М., 1979.
- [2] Д. О. Горелик, Б. Б. Сахаров. Оптико-акустический эффект в физико-химических измерениях. Изд. Комитета стандартов, М., 1969.
- [3] П. В. Слободская. Изв. АН СССР, сер. физ., 42, 656, 1948.
- [4] T. L. Cottrell, J. M. Macfarlane, A. W. Read, A. N. Young. Trans. Faraday Soc., 62, 2655, 1966.
- [5] T. E. Hunter. J. Amer. Chem. Soc., 1967A, 1804, 1974.
- [6] А. Б. Антипов, В. А. Капитанов, Ю. Н. Пономарев, В. А. Сапожникова. В сб.: Лазерная спектроскопия атмосферных газов, с. 113, Томск, 1978.
- [7] T. Aoki, M. Katayma. Japan. J. Appl. Phys., 10, 1303, 1971.
- [8] В. П. Жаров. Автореф. канд. дисс., МВТУ, М., 1977.
- [9] C. F. Dewey Jr., R. D. Kammler, C. E. Hascett. Appl. Phys. Lett., 23, 633, 1973.
- [10] R. D. Kammler. J. Appl. Phys., 47, 3550, 1976.
- [11] А. С. Гоменюк, В. П. Жаров, В. С. Летохов. Тр. советско-французского симпозиума по новым спектральным приборам, с. 78, М., 1976.

Поступило в Редакцию 11 марта 1980 г.